

دراسة تأثير القيم الشاذة على طريقيتي بوكس-جينكز وفورير

م.م فاضل حميد هادي

جامعة القادسية

كلية الإدارة والاقتصاد

قسم الإحصاء

الخلاصة

كل المقاييس الإحصائية تعتمد بشكل مباشر على البيانات المتوفرة، فكلما كانت هذه البيانات نقية كانت نتائجها دقيقة ، لكن عندما تكون بيانات تلك المقاييس ملوثة بنسبة معينة من البيانات الشاذة فإن نتائج تلك المقاييس تكون غير دقيقة .لذا فسلسل الزمنية هي الأخرى التي تتأثر بالقيم الشاذة لكن بصورة متفاوتة تختلف من طريقة تتبع إلى الأخرى ، حيث في هذا البحث تم التركيز على طريقيتي التنبؤ (طريقة بوكس-جينكز، وطريقة فورير) أذ تم المقارنة ما بين هاتين الطريقتين عند ثلاثة مراحل هي عندما لا توجد هناك بيانات شاذة (أي عندما تكون نسبة التلوث ٠٪) والمرحلة الثانية من المقارنة هي عندما تكون نسبة التلوث بالبيانات الشاذة ٥٪ والمرحلة الثالثة من المقارنة هي عندما تكون نسبة التلوث ١٠٪ (لنموذج الموسمي ثابت ، ونموذج موسمي تضاعفي) حيث تم التوصل إلى مجموعة من الاستنتاجات كما هي موضح من خلال هذا البحث.

المقدمة

قد تحتوي بيانات بعض الظواهر على بيانات شاذة (OUT LIARS) مما يؤدي إلى الوصول إلى نتائج غير دقيقة ومضللة ، وبالتالي فإن هذه النتائج الغير جيدة ستؤدي إلى استنتاجات بعيدة عن واقع الظاهرة المدروسة ، لذا لا بد من تشخيص هذه القيم الشاذة وكذلك التأكيد من نسبتها قياساً بحجم العينة الكلية الممثلة للظاهرة المدروسة ، إذ إن تأثيرها ومعرفة موقعها يختلف مع اختلاف طريقة التنبؤ وحجم العينة المستخدمة في السلسل الزمنية . تعتبر السلسل الزمنية من المواضيع الإحصائية الحساسة جداً إلى القيم الشاذة إذ تهتم السلسل الزمنية بدراسة الظواهر التي تكون مشاهداتها مرتبة زمنياً ، لذلك يجب أن يكون اختيارنا لأسلوب التحليل وطريقة التحليل مبنياً على أساس علمي ومعتمداً بشكل كبير على بيانات الظاهرة المدروسة . يوجد هناك أسلوبين في تحليل السلسل الزمنية ، الأول هو التحليل تحت مجال الزمان (Analysis under Time Domain) ومن الطرق الشائعة في هذا الأسلوب هي طرق بوكس جينكز وطرق التمهيد الأسني وطرق تحليل الانحدار أما الأسلوب الثاني هو التحليل تحت مجال الترددات (Analysis under Spectral Frequency Domain) من الطرق الشائعة في هذا الأسلوب هي التحليل الطيفي (Fourier methods) . في هذا البحث تم إجراء المقارنة بين أسلوب التحليل في مجال الزمان (طريقة بوكس جينكز) وأسلوب التحليل في مجال الترددات (طريقة فورير) لبيانات موسمية ملوثة بنسب مختلفة من البيانات الشاذة (١٠٪، ٥٪، ٠٪) وقد تم استخدام أسلوب المحاكاة في توليد البيانات الموسمية والأجراء المقارنة تم الاعتماد على مجموعة من أحجام العينات (٢٠٠، ١٥٠، ١٠٠، ٨٠، ٦٠، ٤٠، ٢٠)، وكذلك تم استخدام مجموعة من معايير دقة التنبؤات (Mse,Mae,Mape) بهدف اجراء المقارنة في ظل وجود وعدم وجود القيم الشاذة.

مشكلة الدراسة:

قد يكون وجود القيم الشاذة عائقاً كبيراً في الحصول على مقدرات دقيقة لمعامل طرق التنبؤ في السلسل الزمنية طريقة (بوكس - جنكنز) و طريقة (طريقة فورير) وتكون نتائج تقييم هذه المعامل مضللة وغير دقيقة، وبالتالي فإن استخدام تنبؤات هذه الطرق ستعطي تنبؤات بعيدة عن الواقع ولحل هذه المشكلة لابد من استخدام طرق التقدير الحصينة في تقييم معامل الطرق المستخدمة في هذا البحث.

هدف البحث:

يهدف هذا البحث إلى إجراء مقارنة من حيث أفضلية التنبؤ مابين طريقة بوكس - جنكنز وطريقة فورير للتنبؤ بالسلسل الزمنية الموسمية في حالة وجود نسب مختلفة من البيانات الشاذة، وكذلك تحديد أي الطريقتين أكثر تحسساً للبيانات الشاذة.

١ - الجانب النظري:

١-١ البيانات الشاذة(3) (2)

من المعروف ان دراسة الظواهر تعتمد على البيانات التي تخص تلك الظاهرة المدروسة ، فكما كانت هذه البيانات نقية ودقيقة ستعكس نتائج ودراسات دقيقة وشاملة عن تلك الظاهرة المدروسة ، لكن سرعان ما تواجه هذه الظاهرة ظروفاً غير طبيعية ستنتج عنها بيانات غير طبيعية ومن هذه البيانات الغير طبيعية هي البيانات الشاذة (out liars) . وقد عرفت البيانات الشاذة بمجموعة من التعريف ومن ابسطها : وهي مجموعة من البيانات ذات توزيع يختلف عن توزيع باقي البيانات ضمن العينة الواحدة ، وهناك عدة طرق لتحديد البيانات الشاذة ابسط هذه الطرق هي طريقة الدرجة المعيارية (التي تكون صيغتها الرياضية)

$$Z_i = \frac{X_i - \bar{X}}{s}(1-1)$$

فإذا كانت قيمة (Z_i) ((للمشاهدة (i))) حيث إن ($i=1,2,\dots,n$)) أكبر من (٣) فتعتبر هذه القيمة قيمة شاذة ، لكن نجد ان هذه الطريقة غير مجديه نوعاً ما لأنها تعتمد على الوسط الحسابي الذي يتحسس للقيم الشاذة والمطرفة ، لذا تم تحسين هذه الطريقة وذلك بالاعتماد على الوسيط الذي يعتبر مقياس غير متأثر بالقيم الشاذة أو المطرفة ، وبالتالي فإن الصيغة الرياضية لهذه الطريقة تأخذ الشكل التالي :

$$Z_i = \frac{X_i - med(X_i)}{MAD(X_i)}(1-2)$$

حيث إن

$$MAD(X_i) = med|X_i - med(X_i)|$$

كذلك اذا كانت قيمة (Z_i) ((للمشاهدة (i))) حيث إن ($i=1,2,\dots,n$)) أكبر من (٣) فتعتبر هذه القيمة قيمة شاذة، ويوجد هـ ناك مجموعة من الطرق لتشخيص القيم الشاذة ، وكذلك مجموعة من طرق معالجة البيانات الشاذة ، ومن هذه الطرق طريقة البير بعد تحديد نقطة البير المثلث أو استخدام أسلوب التحويل ، أو استخدام أسلوب التجزئة، لكن قد تسبب طرق المعالجة هذه بفقدان كمية كبيرة من المعلومات وبالتالي فالبقاء على القيم الشاذة أفضل من معالجتها ، كذلك فإن تأثير القيم الشاذة يختلف من مقياس إحصائي إلى آخر، وفيما يخص السلسل الزمنية فإن تأثير القيم الشاذة يختلف من طريقة تنبؤ إلى أخرى.

١-٢ طريقة المربعات الصغرى المشذبة (least trimmed squares) (LTS)

تعتبر طريقة المربعات الصغرى المشذبة من طرق التقدير الحصينة وتعمل هذه الطريقة كطريقة تقدير في ظل وجود او عدم وجود قيم شاذة (Out liars) حيث تعمل هذه الطريقة كطريقة تقدير اعتيادية في حالة غياب القيم الشاذة وتعمل كطريقة تقدير حصينة في ظل وجود القيم الشاذة . اذ يعتمد عمل هذه الطريقة على نسبة البيانات الشاذة الموجودة في البيانات الكلية . و يمكن ايجاد مقدرات هذه الطريقة من خلال تقليل مربعات الباقي إلى اقل ما يمكن

$$\text{Min} \sum_{i=1}^h r_{(i)}^2 \dots \dots \dots \quad (1-3)$$

حيث إن

$r_{(i)}^2$ تمثل مربعات الباقي المرتبة

h هو حجم المجموعة الجزئية

ويمكن تحديدها كالتالي

$$h = [(1-\alpha) \cdot n] + [\alpha(k+1)]$$

حيث إن α هي النسبة المئوية لقيمة الشاذة او هي نسبة تشذيب المشاهدات،اما n فهي حجم العينة، و k هي عدد المعلمات

و يمكن وصف خوارزمية هذه الطريقة ، كما يأتي

١- نحدد عدد القيم الشاذة(t)

٢- كذلك نحدد نسبة هذه القيم الشاذة من بين البيانات الكلية (n)

٣- نحسب التوافق للحصول على عدد المجموعات الجزئية ،

$$c_h^n = \frac{n!}{h!(n-h)!} = \dots \dots \dots \quad (1-4)$$

اذ سوف يتم الحصول على عدد من المجموعات الجزئية يكون عددها (c_h^n) ،

٤- في هذه الحالة نقوم بحساب (ols) لكل مجموعة ثم نحسب (mse) لكل مجموعة تم تقدير معالمها ، فالمجموعة التي تمتلك mse الأقل تعتبر مقدراتها حصينة . فسوف يتم الاعتماد على طريقة التقدير هذه لتقدير معالم طريقتي التنبؤ بالسلالس الزمنية الموسمية ((بوكس - جنكز) وطريقة فورير .

١-٣ طريقة بوكس جينكز (Box-Jenkins method)

تعتبر طريقة بوكس- جينكز من الطرائق المهمة والشائعة الاستخدام في تحليل السلاسل الزمنية تحت مجال الزمن (under time domain) وهي أسلوب كفؤ في الحصول على التنبؤات المستقبلية للظواهر الم دروسية في حالة تطبيقها بشكل صحيح وتمتاز هذه الطريقة بأنها قادرة على معالجة السلاسل الزمنية التي تكون بياناتها توافلية من تأثيرات الاتجاه العام والدوائية والموسمية والعرضية وسوف نتناول في دراستنا احد نماذج بوكس-جينكز وهو أنموذج الانحدار الذاتي من الدرجة الثانية (AR(2) .

انموذج الانحدار الذاتي (Autoregressive model)

ان نماذج الانحدار الذاتي AR هي نماذج عشوائية تتحقق عندما توجد مجموعة من الأوزان الغير مساوية للصفر حيث يمكن وصف النموذج بالصيغة التالية :

$$y_t = \varphi_1 y_{t-1} + \varphi_2 y_{t-2} + \dots + \varphi_p y_{t-p} + a_t \dots \dots \dots \quad (1-5)$$

حيث ان:

y_t هو المتغير المعتمد(الاستجابة)

$y_{t-1}, y_{t-2}, \dots, y_{t-p}$ المتغيرات التوضيحية

$\varphi_1, \varphi_2, \dots, \varphi_p$ معلمات الأنماذج وهي أوزان

a, مركبة الخطأ العشوائي للنموذج تسمى الضوضاء البيضاء *white noise*، تعريف: اذا كانت العملية a , تتوزع حسب التوزيع الطبيعي بمتوسط صفر وتبين محدد σ_a^2 وكانت دالة الارتباط الذاتي (*ACF*) تحقق الفروض التالية:

$$\rho_0 = 1$$

$$\rho_k = \rho_{-k}$$

$$|\rho_k| < 1, \text{ for } k \neq 0$$

$$\rho_k \rightarrow 0, \text{ as } k \rightarrow \infty$$

فإن العملية a , تدعى عملية الضوضاء البيضاء وهي السلسلة الزمنية ذات المتغيرات المتماثلة ومستقلة وتتوزع طبيعياً (*I.I.N.D*). يمكن وصف أنموذج الانحدار الذاتي من الدرجة P ($AR(P)$) بالشكل التالي

$$\varphi_p(\beta)y_t = a_t$$

$$\text{where } \varphi_p = (1 - \varphi_1\beta - \varphi_2\beta^2 - \dots - \varphi_p\beta^p)$$

$$\text{and } \beta = y_{t-1}, \beta^2 = y_{t-2}, \dots, \beta^p = y_{t-p}$$

إن عدد المعلمات p هي التي تحدد درجة النموذج فإذا كانت $p=2$ فإن النموذج هو من الدرجة الثانية ($AR(2)$) ويكتب بالشكل التالي

$$y_t = \varphi_1 y_{t-1} + \varphi_2 y_{t-2} + a_t \quad \dots \quad (1-6)$$

وان أنموذج ($AR(2)$) الذي يعالج الموسمية هو

$$y_t = \varphi_L y_{t-L} + \varphi_{L+1} y_{t-L+1} + a_t$$

حيث إن L هو طول الموسم ، فإذا كانت السلسلة الزمنية شهرية فإن $L=12$

ويكون النموذج التنبؤي الموسمي حسب الصيغة التالية

$$\hat{y}_t = \hat{\varphi}_L y_{t-L} + \hat{\varphi}_{L+1} y_{t-L+1} \quad \dots \quad (1-7)$$

حيث يتم تقدير معلمات النموذج باستخدام طريقة المربعات المنشدبة (**LTS**)

١-٤ طريقة فوريير Fourier Method (٤)(٧)(١)

ان طريقة فوريير هي طريقة تنبؤية بالسلسلة الزمنية تعمل تحت مجال الترددات (*under Fourier frequency domain*) وتعتمد بشكل أساسي على تحليل فوريير (*Analysis*)

حيث يتم تحويل السلسلة الزمنية من مجال الزمن إلى مجال الترددات بالاعتماد على مبدأ فوريير ويتم وصف السلسلة الزمنية كتركيبة خطية من الدوال المثلثية (*sine* , *cosine*) والتي تكون دورية (*Harmonic*) ومتعاوقة (*Periodic*) وفق النظام التالي :

$$y_t = \sum_{k=0}^{[n/2]} [a_k \sin(2\pi kt/n) + b_k \cos(2\pi kt/n)], t = 1, 2, \dots, n \quad \dots \quad (1-8)$$

ان المعادلة أعلاه تدعى متسلسلة فوريير في المتتابعة y_t ، وان a_k, b_k هي معاملات فوريير، وباستخدام خاصية التعامد (*orthogonality*) للدوال المثلثية يمكن أيجاد المعاملات a_k, b_k ، وذلك

بضرب طرفي المعادلة (1-8) بالمقدارين $(\sin \frac{2\pi kt}{n}, \cos \frac{2\pi kt}{n})$ بالتعاقب ثم الجمع لكل t حيث $t = 1, 2, \dots, n$ ومن ثم نحصل على :

$$a_k = \begin{cases} \frac{1}{n} \sum_{t=1}^n y_t \cos(w_k) & , k = 0 \text{ and } k = \frac{n}{2} \text{ if } n \text{ is even} \\ \frac{2}{n} \sum_{t=1}^n y_t \cos(w_k) & , k = 1, 2, \dots, \frac{n-1}{2} \end{cases} \quad \dots\dots\dots(1-9)$$

$$b_k = \frac{2}{n} \sum_{t=1}^n y_t \sin(w_k) \quad , k = 1, 2, \dots, \frac{n-1}{2}$$

$$w_k = \frac{2\pi kt}{n} \quad , k = 0, 1, \dots, \left[\frac{n}{2} \right]$$

ان w تمثل ترددات الموجة الجيبية وتعتمد قيمتها على طبيعة المشاهدات فإذا كانت الدورة موسمية سنوية بمشاهدات شهرية فإن $w = \frac{2\pi}{12}$ ، أما إذا كانت المشاهدات فصلية فإن $w = \frac{2\pi}{4}$ وتكون قيمتها $w = \frac{2\pi}{52}$ إذا كانت البيانات أسبوعية .

فعلى فرض أن لدينا سلسلة زمنية بمشاهدات شهرية $(s_1, s_2, \dots, s_{12})$ فإن تحليل فوريير يعرض المركبة الموسمية S للموسم j في هذه السلسلة لل نقاط الائتمي عشرة التي تقع جميعها ضمن منحنى واحد بالشكل الآتي:

$$S_j = 1 + \sum_{k=1}^6 (a_k \cos \frac{2\pi kj}{6} + b_k \sin \frac{2\pi kj}{6}) \quad \dots\dots\dots(1-10)$$

والمعادلة (1-10) في أعلاه هي معادلة منحنى انحدار بمعاملات انحدار a_k, b_k أي ان :

$$S_j = 1 + a_1 \cos \frac{2\pi j}{6} + b_1 \sin \frac{2\pi j}{6} + a_2 \cos \frac{2\pi j}{6} + b_2 \sin \frac{2\pi j}{6} \quad \dots\dots\dots(1-11)$$

ان النموذج في معادلة أعلاه هو أنموذج انحدار خطى بمعاملات a_1, b_1, a_2, b_2 والذي يمكن ان يكتب بالصيغة التالية :

$$y_t = B_1 + B_2 t + B_3 \sin \frac{2\pi t}{C} + B_4 \cos \frac{2\pi t}{C} + \varepsilon_t$$

حيث ان C هو طول الموسم وان النموذج التنبؤي هو

$$\hat{y}_{t+\tau} = \hat{B}_1 + \hat{B}_2(t) + \hat{B}_3 \sin \frac{2\pi \tau}{C} + \hat{B}_4 \cos \frac{2\pi \tau}{C} \quad \dots\dots\dots(1-12)$$

حيث يتم تقدير معلمات النموذج كذلك باستخدام طريقة المرربعات المنشبة (LTS)

١-٥ قياس دقة التنبؤ measuring forecast accuracy

يقصد بمفهوم قياس دقة التنبؤ هو النموذج التنبؤى على توليد مشاهدات تتبع السلوك نفسه للسلسلة الزمنية . ان اهم ما يعتمد عليه في هذه المرحلة هو خطأ التنبؤ المفرد (one-step forecast error) إذ إن الدقة (accuracy) تعنى بها الملاءمة الجيدة أو حسن المطابقة (goodness of fit) فإذا كان لدينا n من التنبؤات فسوف يكون لدينا n من الأخطاء المفردة وان اغلب مقاييس دقة التنبؤات تعتمد على أخطاء التنبؤ ، وسوف نتناول في دراستنا المقاييس التالية:

١- معيار متوسط مربعات الخطأ (MSE) إذ إن

$$MSE = \frac{1}{n} \sum_{t=1}^n e_t^2 \quad \dots \dots \dots \quad (1-13)$$

٢- معيار متوسط نسبة الخطأ (PE) إذ إن

$$MpE = \sum_{t=1}^n \frac{(y_t - \hat{y}_t)}{y_t} \cdot 100\% \quad \dots \dots \dots \quad (1-14)$$

٣- واحصاءة U (مقياس ثيل) ($U statistic$)

$$U = \sqrt{\frac{\left(\sum_{t=1}^{n-1} FPE_{t+1} - APE_{t+1} \right)^2}{\sum_{t=1}^{n-1} (APE_{t+1})^2}} \quad \dots \dots \dots \quad (1-15)$$

حيث أن

$$FPE_{t+1} = \frac{\hat{y}_{t+1} - y_t}{y_t}$$

$$APE_{t+1} = \frac{y_{t+1} - y_t}{y_t}$$

٤- الجانب التطبيقي

في هذا الجانب تم استخدام اسلوب المحاكاة لتوليد المشاهدات الخاصة بالدراسة وذلك لدراسة كفاءة طريقي بوكس-جينز وطريقة فورير في التنبؤ بالسلسلة الزمنية الموسمية في ظل وجود قيم شاذة حيث تمت المقارنة بين الطريقتين عن طريق مقاييس دقة التنبؤات المستخدمة في الدراسة (U statistic , MPE , MSE).

٥- وصف تجربة المحاكاة

تم بناء تجربة المحاكاة بالشكل التالي:

- ١- توليد مشاهدات الخطأ العشوائي حسب التوزيع الطبيعي المعياري
- ٢- توليد سلسلة زمنية موسمية ببيانات شهرية (طول الموسم = ١٢) وحسب النماذج التالية

أ. النموذج الموسمي الثابت بالصيغة التالية

$$y_t = \beta_0 + S_t + e_t \quad t = 1, 2, \dots, n \quad (2-1)$$

حيث إن

β_0 هي مركبة الحد الثابت

S_t هي مركبة الموسمية (Seasonality)

ب- النموذج الموسمي الاتجاهي بالصيغة التالية

$$y_t = (\beta_0 + \beta_1 t)S_t + e_t \quad t = 1, 2, \dots, n \quad (2-2)$$

حيث إن

β_1 هي مركبة الاتجاه العام (Trend)

٣- توليد بيانات السلسل الزمنية لكل النموذج باستخدام احجام عينات مختلفة (n=20, 40, 60, 80, 100, 125, 150, 200) وبنسب تلوث (٥٠٪، ٥٥٪، ٦٠٪)

٤- تكرار تجربة المحاكاة ٥٠٠ مرة لضمان العشوائية

٥- تقدير معلمات الطرفيتين باستخدام طريقة LTS وعند كل حجم عينة.

٦- تطبيق النماذج التنبؤية للطرفيتين الموصوفة في المعادلات (٣) و (٦)

٧- قياس دقة التنبؤات للطرفيتين حسب المقاييس الموصوفة في المعادلات (١٣) و (١٤) و (١٥-١)

٨- اجراء المقارنات بين الطرفيتين على ضوء قيم مقاييس دقة التنبؤات

٢-٢ نتائج تجربة المحاكاة

أولاً- تم تطبيق طريقي الدراسة على النموذج الموسمي الثابت تم حساب مقاييس المقارنة لكل طريقة عند مجموعة من أحجام العينات المختلفة ، والجدالات التالية تبين نتائج التجربة.

جدول رقم (١)

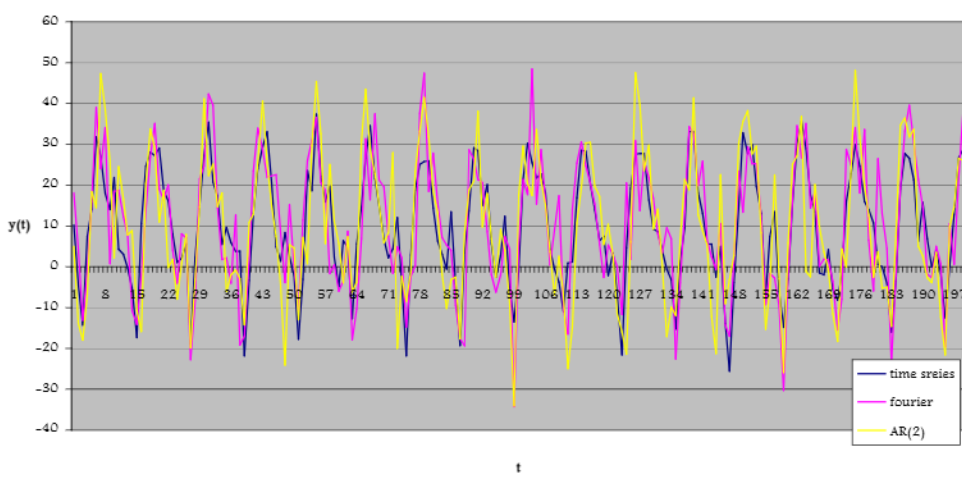
يوضح قيم معايير المقارنة لطريقي فورير و بوكس-جينكز عند أحجام عينات مختلفة و عند نسبة تلوث (٥٪) لسلسل زمنية ذي نموذج موسمي ثابت

| نسبة التلوث | n | Box-Jenkins | | | Fourier | | |
|-------------|-----|-------------|---------|--------|---------|---------|--------|
| | | MSE | U-stst. | MPE | MSE | U-stst. | MPE |
| ٥٪ | ٢٠ | ١٥.٥٠٨ | ٤.٥٧٢ | ١.٥٨ | ١٧.٨٦٤ | ٦.٧٤٢ | ١.٧١٢ |
| | ٤٠ | ١٣.٣٥٨ | ٤.١٤٦ | ١.٢١٢ | ١٣.٠٦٨ | ٤.٣٤٤ | ١.٥٢ |
| | ٨٠ | ١١.٨٤٨ | ٣.٨٥٢ | ١.٠٢٢ | ١١.٣٦٤ | ٤.١٧٤ | ١.٨٧٨ |
| | ١٠٠ | ٩.٤٩ | ٣.٥٤٦ | ٠.٨٢٤ | ٨.٩١٦ | ٢.٩٣٦ | ٠.٧٢٢ |
| | ١٥٠ | ٧.٠٥٢ | ٣.٤٢ | ٠.٥٩٢ | ٤.٩٣٢ | ٢.٦٨ | ٠.٥٣ |
| | ٢٠٠ | ٥.٨٩٢ | ٣.٣٩٨ | ٠.٤٩٤٢ | ٤.٣٩٦ | ٢.٥٧٢ | ٠.٤٥٦٢ |

من النتائج المبينة في جدول رقم (١) وعند نسبة تلوث (٥٪) نلاحظ ان قيم معايير المقارنة وهي (متوسط مربعات الخطأ العشوائي واحصاء U ومتوسط نسبة الخطأ المطلق) تتنخفض قيمها مع زيادة حجم العينة ولكلتا الطرفيتين وهذا يدل على تحسن أداء الطرفيتين مع زيادة حجم العينات وحسب هذه المقاييس نلاحظ أن طريقة بوكس-جينكز هي أفضل من طريقة فورير وعند حجم

العينة (٢٠) لكن عند بقية أحجام العينات كانت طريقة فورير أفضل من طريقة بوكس-جينكز (على الرغم من أن قيم معايير المقارنة كانت متقاربة نوعاً ما بالنسبة لطريقي التنبؤ) وكما هو واضح من خلال قيم معايير المقارنة الثالث، اذ تدل هذه النتائج على ان طريقة بوكس-جينكز تكون أكثر كفاءة من طريقة فورير عند أحجام العينات الصغيرة جداً، وبالعكس فإن طريقة فورير تكون أكثر كفاءة من طريقة بوكس-جينكز عند أحجام العينات الكبيرة (لننموذج موسمي ثابت). اذ نجد مثلاً ان قيمة MSE لطريقة بوكس-جينكز هي (15.508) عند الحجم $n=20$ بينما أصبحت قيمتها (5.892) عند الحجم $n=200$ بينما كانت قيمة MSE لطريقة فورير هي (17,864) عند الحجم $n=20$ بينما أصبحت قيمتها (4.396) عند الحجم $n=200$. وكما هو مبين في الشكل البياني رقم (١)

شكل رقم (١) يمثل ملخص التنبؤاته طريقة فورير و طريقة AR(2) لمبياناته موسمية لنموذج الثابت عند نسبة تلوث %٥



جدول رقم (٢)

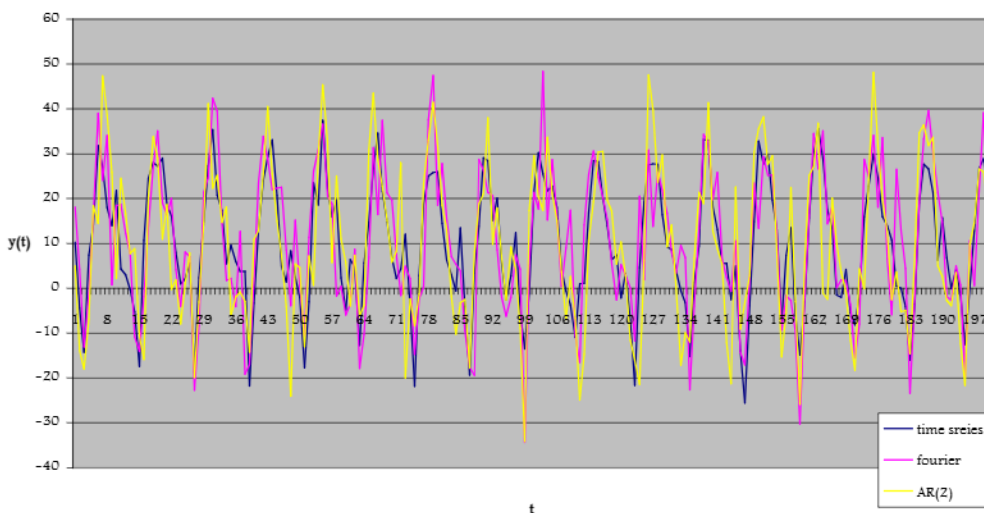
يوضح قيم معايير المقارنة لطريقي فورير و بوكس-جينكز عند أحجام عينات مختلفة و عند نسبة تلوث (5%) لسلسل زمنية ذي نموذج موسمي ثابت

| نسبة التلوث | n | Box-Jenkins | | | Fourier | | |
|-------------|-----|-------------|---------|-------|---------|---------|-------|
| | | MSE | U-stst. | MPE | MSE | U-stst. | MPE |
| 5 % | ٢٠ | 34.241 | 11.477 | 5.231 | ٣٣.٤٥٦ | ١٥.٥٣٤ | ٩.٦٥٦ |
| | ٤٠ | 27.112 | 11.001 | 6.213 | ٢٥.٣٢٣ | ١١.٦٥٤ | ٩.٠٨٧ |
| | ٨٠ | 22.978 | 8.929 | 4.067 | ١٩.٩٩٧ | ٨.٢٣١ | ٣.٣٤٥ |
| | ١٠٠ | 21.102 | 8.523 | 3.893 | ١٩.٦٧٤ | ٦.٠٤٦ | ٣.٩٣٤ |
| | ١٥٠ | 15.317 | 6.218 | 3.684 | ١١.٧٨٥ | ٣.٠٢٣ | ١.٧٦٤ |
| | ٢٠٠ | 12.666 | 5.214 | 1.921 | ٧.٣٢٦ | ١.٦٧٨ | ١.١٢٤ |

من النتائج المبينة في جدول رقم (٢) وعند نسبة تلوث (5%) نلاحظ ان قيم معايير المقارنة قد ازدادت قياساً عما كانت عليه عند عدم وجود بيانات شاذة فهذا يدل على ان الطريقيتين تحسست للقيم الشاذة لكن بشكل متفاوت . نجد ان طريقة فورير أفضل من طريقة بوكس-جينكز عند حجم العينات كافة هذا يدل على ان طريقة فورير هي اقل تحسساً بالقيم الشاذة قياساً بطريقة

بوكس-جينكز، وكذلك نجد أن هناك انخفاض معايير المقارنة لكلا الطريقتين مع زيادة حجم العينة مما يدل على أن تأثير القيم الشاذة (في السلسل الزمنية) ينحسر تدريجياً عند ازدياد حجم العينات . وكما هو واضح في الشكل البياني رقم (٢)

شكل رقم (٢) يمثل معايير مقارنة طريقة فورير وطريقة AR(2) لسلسل زمنية للموسمية الثابتة عند نسبة تلوث %٥



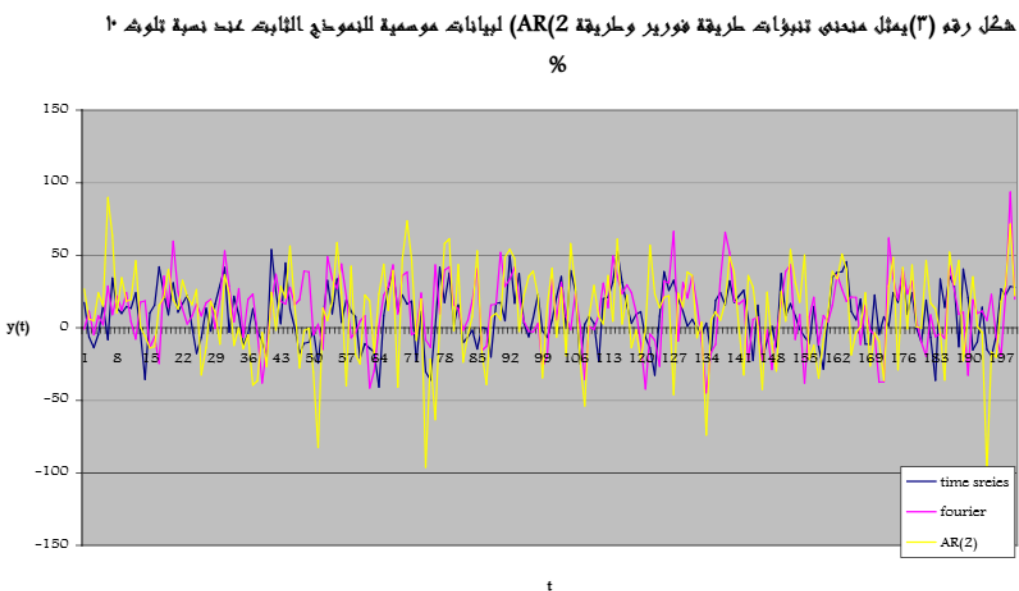
جدول رقم (٣)

يوضح قيم معايير المقارنة لطريقي فورير و بوكس-جينكز عند احجام عينات مختلفة و عند نسبة تلوث (10%) لسلسل زمنية ذي نموذج موسمي ثابت

| نسبة التلوث | n | Box-Jenkins | | | Fourier | | |
|-------------|-----|-------------|---------|-------|---------|---------|-------|
| | | MSE | U-stst. | MPE | MSE | U-stst. | MPE |
| 10 % | ٢٠ | ٤٦.٢٣١ | ١٧.٧٨٩ | ٦.٣٤٢ | ٤٥.٤٥٣ | ١٥.٩٧٦ | ٦.٠٥٦ |
| | ٤٠ | ٤٢.٦٧٨ | ١٤.٤٥٣ | ٨.٢٦٧ | ٣٢.٦٥٣ | ١٢.٨٧٩ | ٦.٦٢٧ |
| | ٨٠ | ٣٧.٩٠٥ | ١٤.٣٤٢ | ٣.٢٣٧ | ٢٦.٦٧٥ | ١١.٥٤٢ | ٤.٣٧٨ |
| | ١٠٠ | ٢٦.٣٤٣ | ١٢.٢٦٧ | ٣.٩٦٤ | ٢٠.٣٤٦ | ٩.٣٥٧ | ٣.٨٩١ |
| | ١٥٠ | ٢٢.٦٥٧ | ٩.٦٧٨ | ٢.٠٩٦ | ١٧.٩٨٧ | ٥.٧٩٨ | ٣.٣٥٦ |
| | ٢٠٠ | ١٨.٦٧٢ | ٥.٩٨٧ | ١.٨٦٧ | ١٤.٤٣٥ | ٣.٤٧٨ | ١.٩٠٣ |

من النتائج المبينة في جدول رقم (٣) و عند نسبة تلوث(10%)) نلاحظ ان قيم معايير المقارنة قد ازدادت قليلاً عما كانت عليه في نتائج الجدولين السابقين . وهذا يفسر ان التغير الذي حدث على طريقي التنبؤ كان نتيجة لزيادة نسبة البيانات الشاذة ، فهذا يدل على ان الطريقتين تحسستا للاقيم الشاذة ولكن بمقادير متقاومة ، وكذلك نجد ان تحسس طريقة فورير بالاقيم الشاذة اقل من طريق بوكس-جينكز عند حجم العينات كافة ، مما يدل هذا على ان طريقة فورير أكثر مقاومة للقيم الشاذة من طريقة بوكس-جينكز ، وكذلك نجد أن كفاءة الطريقتين تزداد مع زيادة أحجام العينات ، في ظل وجود نسبة التلوث بالاقيم الشاذة . وذلك واضح من خلال انخفاض قيم معايير

المقارنة ولكل الطريقيتين ، مما يدل على أن تأثير القيم الشاذة ينحصر تدريجياً عند ازدياد حجم العينات . وكما هو مبين في الشكل البياني رقم (٣)



من خلال الشكل رقم (١) والشكل رقم (٢) وشكل رقم (٣) نجد ان هناك سلوكاً موسمياً واضحاً للسلسة الزمنية ولكن أفقى بدون اتجاه وان كل الطريقيتين قد تتبأ بشكل جيد ببيانات السلسلة الزمنية ولكن منحنى طريقة فوريير كان أكثر مطابقة لبيانات السلسلة المدروسة حتى عند وجود النسب المختلفة من البيانات الشاذة ، مما يدل أن طريقة فوريير أكثر تكيف من طريقة بوكس-جينكز.

ثانياً- تطبيق طريقيتي الدراسة على النموذج الموسمي الاتجاهي الموسوف بالصيغة (١-٢) وتم حساب مقاييس المقارنة لكل طريقة وعند أحجام عينات مختلفة، والنتائج كما هي موضحة في الجدول أدناه.

جدول رقم (٤)

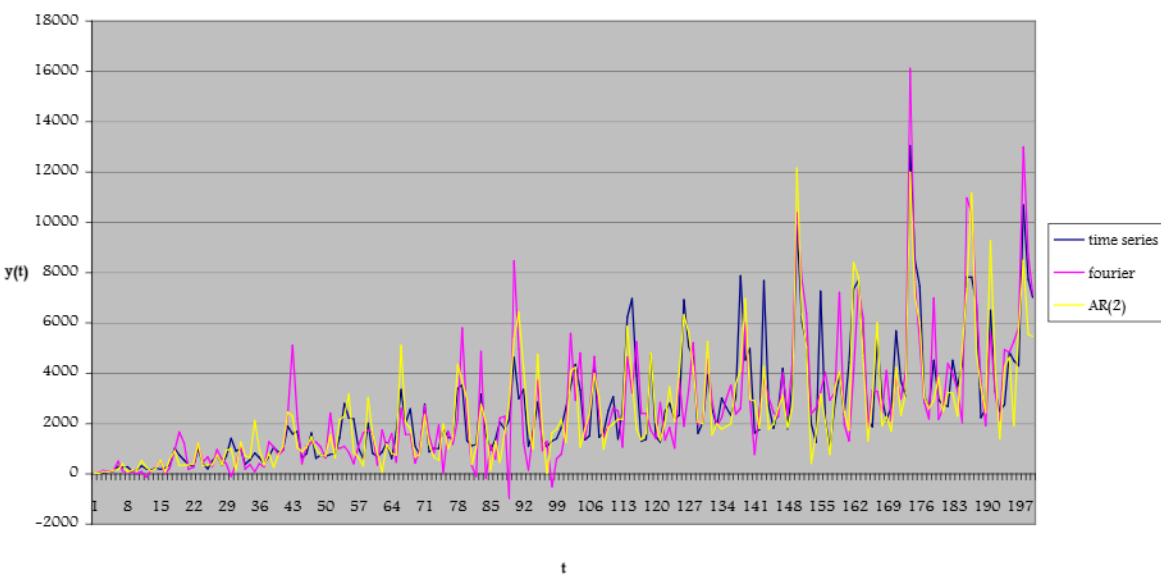
يوضح قيم معايير المقارنة لطريقيتي فوريير وبوكس-جينكز عند أحجام عينات مختلفة وعند نسبة تلوث (٠ %) لسلسل زمانية ذي نموذج موسمي اتجاهي

| نسبة التلوث | n | Box-Jenkins | | | Fourier | | |
|-------------|-----|-------------|---------|--------|---------|---------|--------|
| | | MSE | U-stst. | MPE | MSE | U-stst. | MPE |
| ٠ % | ٢٠ | 228.824 | 43.816 | 26.234 | 320.284 | 22.532 | 22.046 |
| | ٤٠ | 207.725 | 42.752 | 21.012 | 298.031 | 42.082 | 25.152 |
| | ٨٠ | 137.497 | 28.408 | 13.66 | 265.972 | 40.514 | 24.515 |
| | ١٠٠ | 76.812 | 18.012 | 8.758 | 160.052 | 28.494 | 19.784 |
| | ١٥٠ | 29.190 | 14.134 | 4.118 | 77.918 | 19.828 | 18.458 |
| | ٢٠٠ | 14.310 | 9.122 | 3.684 | ٥٤.٣٢٨ | 13.652 | 10.488 |

من خلال النتائج المبينة في الجدول أعلاه والخاصة بالنماذج الموسمي الاتجاهي وعند نسبة تلوث (٠%) نلاحظ ان قيم معايير المقارنة وهي (متوسط مربعات الخطأ العشوائي واحصاء U ومتوسط نسبة الخطأ المطلق) تتحفظ قيمها مع زيادة حجم العينة ولكل الطريقيتين وهذا يدل على تحسن أداء الطريقيتين مع زيادة حجم العينات وحسب هذه المقاييس نلاحظ أن طريقة بوكس-جينكز هي أفضل من طريقة فوريير عند كافة أحجام العينات ، مما يدل على أن

طريقة بوكس-جينكز هي طريقة التبؤ الأفضل بالنسبة للنموذج الموسمي الاتجاهي قياساً بطريقة فوريير، وهذه النتيجة واضح من خلال قيم معايير المقارنة المستخدمة، حيث نجد ان قيمة (MSE) الخاص بطريقة بوكس-جينكز عند حجم العينة (٢٠) هي (٢٢٨,٨٢٤) بينما كانت قيمة (MSE) الخاص بطريقة فوريير عند نفس الحجم هي (٣٢٠,٢٨٤) مما يدل على أن طريقة بوكس-جينكز أكثر قدرة تنبؤية قياساً بطريقة فوريير (عند النموذج الموسمي الاتجاهي)، وكذلك نجد ان قيمة (MSE) الخاص بطريقة بوكس-جينكز عند حجم العينة (٢٠٠) هي (١٤,٣١٠) بينما كانت قيمة (MSE) الخاصة بطريقة فوريير عند نفس الحجم هي (٥٤,٣٢٨) مما يدل على ان طريقة بوكس-جينكز بقيت أكثر قدرة تنبؤية من طريقة فوريير حتى عند حجوم العينات الكبيرة، لكن نجد ان هناك تحسناً ملحوظاً للطريقتين عند حجوم العينات الكبيرة وهذا واضح من خلال انخفاض قيم معايير المقارنة الثلاث وكلتا الطريقتين وكما موضح في الشكل رقم (٤)

شكل رقم (٤) يوضح ملخص تنبؤات طريقة فوريير وطريقة AR(2) لنموذج الموسمي الاتجاهي عند نسبة تلوث ٥%



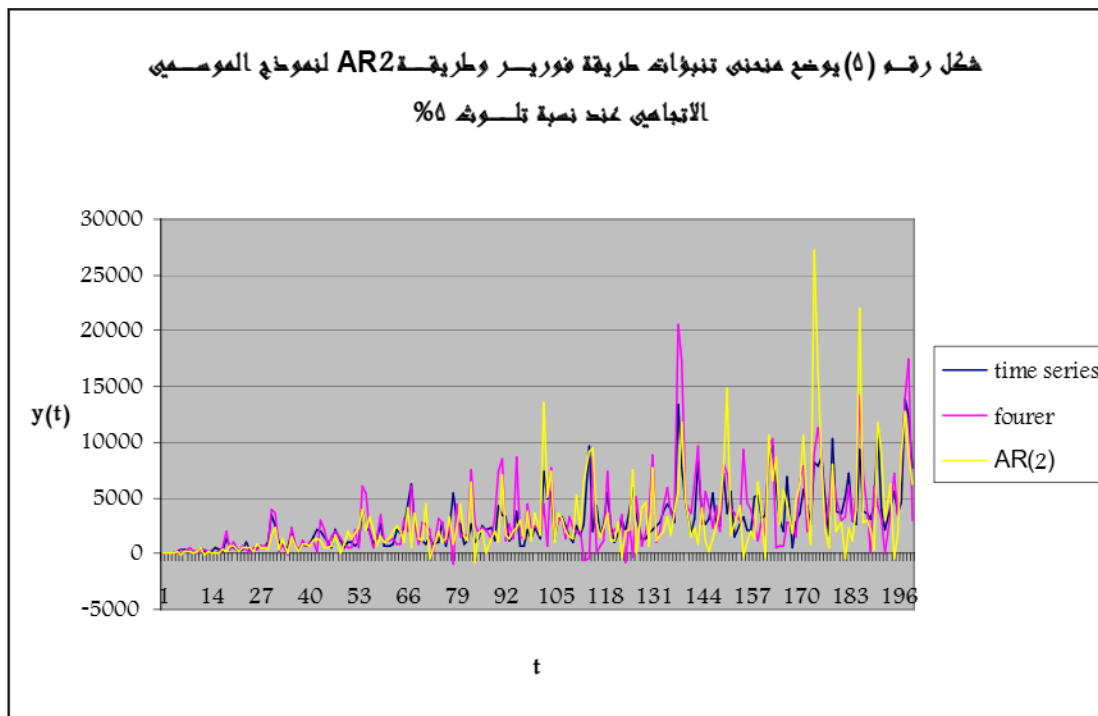
جدول رقم (٥)

يوضح قيم معايير المقارنة لطريقتي فوريير وبوكس-جينكز عند أحجام عينات مختلفة وعند نسبة تلوث (٥%) لسلسل زمنية ذي نموذج موسمي اتجاهي

| نسبة التلوث | n | Box-Jenkins | | | Fourier | | |
|-------------|-----|-------------|---------|--------|---------|---------|--------|
| | | MSE | U-stst. | MPE | MSE | U-stst. | MPE |
| 5 % | ٢٠ | 423.768 | 86.654 | 26.543 | 612.945 | 150.345 | 87.076 |
| | ٤٠ | 512.456 | 87.823 | 21.675 | 583.342 | 111.094 | 66.763 |
| | ٨٠ | 372.423 | 77.545 | 13.456 | 424.235 | 102.124 | 40.785 |
| | ١٠٠ | 306.976 | 40.007 | 8.945 | 450.095 | 78.457 | 29.324 |
| | ١٥٠ | 220.034 | 39.456 | 4.123 | 205.213 | 37.177 | 3.211 |
| | ٢٠٠ | 162.003 | 22.534 | 3.457 | 104.457 | 20.653 | 2.934 |

من خلال النتائج المعروضة في الجدول أعلاه والخاصة بالنماذج الموسمية الاتجاهي وعند نسبة تلوث (٥%)، نلاحظ ان قيم معايير المقارنة قد ازدادت قياساً عن ما كانت عليه عند عدم وجود بيانات شاذة فهذا يدل على ان الطريقتين تحسنت لقيم الشاذة لكن بدرجات

متقارنة حيث نجد ان طريقة بوكس-جينكز هي الأقل تحسّس للقيم الشاذة وذلك عند حجم العينات (١٠٠، ٨٠، ٤٠، ٢٠، ٤)، لكن عند حجم العينات (١٥٠، ٢٠٠) نفاجأ ان طريقة فوريير أصبحت أفضل من طريقة بوكس-جينكز (عند النموذج الموسمي الاتجاهي) قياساً بنتائج الجدول السابق ، كذلك نلاحظ ان قيم معايير المقارنة تتحفظ قيمها مع زيادة حجم العينة ولكلتا الطريقتين وهذا يدل على تحسن أداء الطريقتين مع زيادة حجم العينات من جهة ، ومن جهة أخرى نجد ان تأثير القيم الشاذة يتلاشى تدريجياً عند زيادة حجم العينة ، وهذا واضح من خلال قيم معايير المقارنة الثلاث ، وكما هو مبين في الجدول أدناه.



جدول رقم (٦)

يوضح قيم معايير المقارنة لطريقي فوريير و بوكس-جينكز عند احجام عينات مختلفة و عند نسبة تلوث (10%) لسلسل زمنية ذي نموذج موسمى اتجاهى.

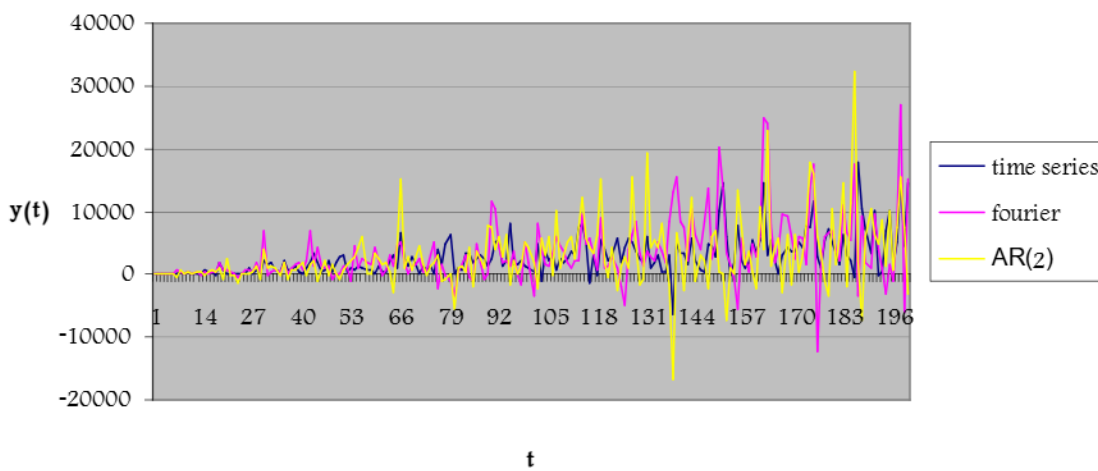
| نسبة التلوث | n | Box-Jenkins | | | Fourier | | |
|-------------|-----|--------------------|---------|---------|----------------|---------|---------|
| | | MSE | U-stst. | MPE | MSE | U-stst. | MPE |
| 10 % | ٢٠ | ١٠٧٧.٤٥٣ | ١٢٧.٤٥٤ | ١٠٢.٢٣٥ | ٩١٩.٢٨ | ١٤٤.٥٣٢ | ١١٣.٠٤٦ |
| | ٤٠ | ٩٦٧.٤٥٣ | ١٠١.٦٦٥ | ٧٧.٠١٢ | ٩٠٠.٠٣ | ٩٩.٠٨٢ | ٧٠.١٥٢ |
| | ٨٠ | ٨٨٨.٣٤٢ | ٨٣.٤٤٥ | ٥٩.٤٥٤ | ٧٩٨.٩٧ | ٧٢.٥١٤ | ٤٠.٥١٥ |
| | ١٠٠ | ٦٤٠.٦٥٣ | ٤٢.٦٤٤ | ٣٢.٢٣٣ | ٥٢٠.٠٥ | ٣٨.٤٩ | ٢٩.٧٨٤ |
| | ١٥٠ | ٥١١.٠٧٧ | ٣٩.٣٢٤ | ٢٧.١١٨ | ٣١٢.٩١ | ٣٢.٨٢٨ | ٢٣.٤٥٨ |
| | ٢٠٠ | ٣٨٦.٦٥٢ | ٣١.٤٤٣ | ٢٣.٧٦٧ | ٢٨٨.٣٢ | ٢١.٦٥ | ١٩.٤٨٨ |

من خلال النتائج المعروضة في الجدول أعلاه والخاصة بالنماذج الموسمى الاتجاهى وعند نسبة تلوث (10%) ، نلاحظ ان قيم معايير المقارنة قد ازدادت قياساً عما كانت عليه في نتائج الجدولين السابقين و هذا يفسر ان التغير الذي طرأ على قيم معايير المقارنة الثلاث كان نتيجة لزيادة نسبة البيانات الشاذة فهذا يدل على ان الطريقتين تحسبت للقيم الشاذة بصورة واضحة ، وكذلك نجد وعند نسبة (10%) من القيم الشاذة كانت طريقة فوريير أفضل من طريقة بوكس-جينكز عند كافة أحجام العينات ، مما يدل على ان طريقة بوكس-جينكز تنهار

أمام النسب العالية من القيم الشاذة، لكن طريقة فوريير تبدو أكثر تماسكاً أمام النسب العالية من القيم الشاذة(عند النموذج الموسمي الاتجاهي) وهذا واضح من خلال قيم معايير المقارنة. وكما هو واضح من خلال أشكال أدناه.

شكل رقم (٦) يوضح منتهى التنبؤاته لطريقة فوريير وطريقة AR2 لموديل موسمي

اتجاهي عند نسبة تلوثه ١%



من خلال الأشكال رقم (٤) والشكل رقم (٦) والشكل رقم (٦) نلاحظ ان نمط السلسلة الزمنية هو موسمي متضاعف اتجاهي أي ان المركبة الموسمية تتضاعف بنسبة معينة مع الزمن مع وجود الاتجاه نحو الأعلى، وبشكل عام نلاحظ إن أداء الطرفيتين يسوء مع زيادة نسبة القيم الشاذة، لكن نجد ان طريقة بوكس-جينكز أكثر تحسساً للقيم الشاذة من طريقة فوريير حيث كان أداؤها أفضل من أداء طريقة فوريير عند عدم وجود قيمة شاذة بينما كانت أداء طريقة فوريير أفضل عندما تكون البيانات ملوثة

الاستنتاجات

- ١- بصورة عامة ولكل النموذجين (النموذج موسمي ثابت، والنموذج موسمي اتجاهي) نجد ان لطريقي التنبؤ بوكس-جينكز وطريقة فوريير يتاثرَا بصورة واضحة بالقيم الشاذة.
- ٢- بصورة عامة ولكل النموذجين (النموذج موسمي ثابت، والنموذج موسمي اتجاهي) نجد أن أداء الطرفيتين يتحسن كلما ازدادت حجم العينات، هذا يعني ان هناك علاقة طردية مابين تحسن أداء الطرفيتين وحجم العينات المستخدمة، وهذا واضح حتى عند وجود نسبة من البيانات الشاذة.
- ٣- في النموذج الموسمي الثابت نجد أن طريقة بوكس-جينكز أفضل من طريقة فوريير عند أحجام العينات الصغيرة جداً ، ونجد عكس هذا الشيء عند حجم العينات الكبير حيث تكون طريقة فوريير أكثر كفاءة من طريقة بوكس-جينكز .
- ٤- نجد ان طريقة فوريير طريقة تنبؤية جيدة في ظل وجود القيم الشاذة ، وهذا واضح من انخفاض قيم معايير المقارنة الخاصة بطريقة فوريير قياساً بطريقة بوكس-جينكز مع ازدياد نسبة القيم الشاذة مما يدل على ان طريقة فوريير أكثر مقاومة للقيم الشاذة (عند النموذج الموسمي الثابت)

- ٥- بصورة عامة ولكل النموذجين (النموذج موسمي ثابت، والنماذج موسمية اتجاهي) نجد ان تأثير القيم الشاذة يتلاشى تدريجياً مع زيادة حجم العينات .
- ٦- نجد أن طريقة بوكس-جينكز طريقة تنبؤية جيدة للنموذج الموسمي الاتجاهي (وذلك في حالة عدم وجود قيم شاذة) قياساً بطريقة فوريير لكن سرعان ما تتحول هذه النتيجة مع ظهور نسب مختلفة من القيم الشاذة .
- ٧- في النموذج الموسمي الاتجاهي وعند زيادة نسبة البيانات الشاذة نجد ان طريقة بوكس-جينكز يضعف أدائها قياساً بطريقة فوريير . فنستنتج ان طريقة فوريير أكثر ملاءمة للتنبؤ عند وجود قيم شاذة.

التوصيات

- ١- تحسين نموذج فوريير المستخدم في التنبؤ بالسلسل الزمنية الموسمية المتضاعفة وذلك باستخدام نماذج أعلى رتبة ، بالإضافة أزواج (sin , cos) جديدة الى النموذج .
- ٢- في حالة النموذج الموسمي الثابت لابد من استخدام طريقة بوكس-جينكز عند أحجام العينات الصغيرة واستخدام طريقة فوريير عند أحجام العينات الكبير .
- ٣- قد يتسبب معالجة البيانات الشاذة (الموجودة في السلسل الزمنية) خسارة كبيرة في كمية المعلومات ،لذا لابد من استخدام طريقة فوريير للتنبؤ عند وجود نسبة من البيانات الشاذة . لأن هذه الطريقة وحسب النتائج المبينة أعلاه تكون أقل تحسناً للقيم الشاذة.

المصادر

- ١- عبد الحسين محمد (٢٠٠٨)"استخدام طريقة المربعات الصغرى المتناقصة في تقدير معلمات أنموذج فوريير للسلسل الزمنية" رسالة ماجستير مقدمة إلى قسم الإحصاء، كلية الإدارة والاقتصاد، جامعة المستنصرية.
- 2- Habshah Midi and Hassan S. Uraibi and Bashar A. Talib(2009) " Dynamic Robust Bootstrap Method Based on LTS Estimators" European Journal of Scientific Research , ISSN 1450-216X Vol.32 No.3 pp.277-287.
- 3- Huber M,Rousseeuw P.j (1996) "Robust regression with both categorical co variables" Springer-Verlag, New Yourk.
- 4-Jonathan D.Cryer and Kung-sik Chan(2008) "time series Analysis with applications in R" Second Edition University of Iowa .USA.
- 5-Montgomery, D.C and Johanson, L.A. (1976) , "Forecasting and time series analysis ",Mc Gram Hill, New York.
- 6-Montgomery, D.C. (1990),"Forecasting and Time Series Analysis", McGraw-Hil Inc,Singapore.
- 7- Richard Harris and Roles Solli(s2003)" Applied Time Series Forecasting" University of Durham. Modeling and
- 8-Robert A.Yaffee and Monnie McGee (2004) "Introduction to time series Analysis and forecasting with application of sAs and Spss" Academic press, INC, INC University of New York.
- 9- Rousseeuw P. J. and Van Driessen K., 1999. "Computing LTS regression for Large Data Sets",Data Mining Knowledge Discovery 12, pp.29-45.